



# 随机离散人口系统建模及稳定性分析

倪 岳 锋

(青岛市科学技术委员会 青岛 266071)

## 摘要

建立了随机人口系统生育、死亡、迁移过程的差分方程模型，对随机离散人口系统按龄均值和二阶中心矩的 Lyapunov 稳定性进行了研究，给出了根据我国 1987 年 1% 人口抽查资料进行仿真的结果。

**关键词：**随机离散人口系统，稳定性，临界生育率。

## 1 引言

借助于数学工具对人口系统进行定量描述和分析，已成为人口研究的重要方法。

宋健和于景元<sup>[1]</sup>认为：确定型人口系统存在临界生育率，当妇女总和生育率分别大于、等于和小于临界生育率时，人口系统在 Lyapunov 意义下分别不稳定、临界稳定和渐近稳定。

Kendall<sup>[2]</sup> 和 Pollard<sup>[3]</sup> 等基于确定型人口模型，考察了具真正则性的随机人口系统，Getz<sup>[4]</sup> 对不分龄的情况进行了分析。本文在前人工作基础上建立了人口生育、死亡、迁移过程均值和二阶中心矩的发展方程，指出人口均值和二阶中心矩都存在稳定性问题，稳定的临界点以由生育模式、女性概率和死亡概率决定的临界生育率表示。

## 2 模型的建立

设  $m$  为人的最高寿命，时刻  $t$  按龄人口数为随机变量  $n_k(t), k = 0, 1, \dots, m$ ，妇女最低和最高育龄分别为  $a_1$  和  $a_2$ ，按龄女性概率为  $\omega_k(t)$ ，妇女总和生育率为  $\beta_p(t)$ ， $k$  年龄组成员年龄属于  $[k, k+1)$ 。在  $[t, t+1)$  内，系统内  $k (= 0, 1, \dots, m)$  年龄组的每一个体以概率  $u_k(t)$  死去， $k (= a_1, a_1 + 1, \dots, a_2)$  年龄组的每一女性以概率  $\beta_p(t)h_{pk}(t)$  生育一新个体， $h_{pk}(t)$  为生育模式，满足条件  $\sum_{k=a_1}^{a_2} h_{pk}(t) = 1$ ，婴儿死亡概率为  $u_{p0}(t)$ ，迁入和迁出人口分别形成概率强度为  $w_k(t)$  和  $v_k(t)$  的泊松流。

由上述假设,  $t+1$  时刻  $k (=1, 2, \dots, m)$  年龄组人口  $n_k(t+1)$  为

$$n_k(t+1) = n_{k,k-1}(t+1) + W_k(t) - V_k(t), k = 1, 2, \dots, m, \quad (1)$$

其中  $n_{k,k-1}(t+1)$  为  $t$  时刻  $k-1$  年龄组在  $t+1$  时刻的存活数, 满足条件二项分布  $B[n_{k-1}(t), 1 - u_{k-1}(t)]$ ,  $W_k(t), V_k(t)$  为  $[t, t+1]$  内  $k$  年龄组迁入、迁出人口数。

$t+1$  时刻 0 年龄组人口  $n_0(t+1)$  为

$$n_0(t+1) = \sum_{k=a_1}^{a_2} n_{0(k)}(t+1) + W_0(t) - V_0(t), \quad (2)$$

其中  $n_{0(k)}(t+1)$  为  $k$  年龄组妇女生育并存活的孩子数, 满足条件二项分布  $B[n_k(t), \beta_p(t)h_{pk}(t)(1 - u_{00}(t))]$ ,  $W_0(t), V_0(t)$  表示  $(t, t+1)$  内迁入、迁出的 0 年龄组人口数。

**引理 1.** 设  $X, Y$  均为取值非负整数的随机变量,  $X_1, X_2, Y_1$  为具相互独立的条件二项分布  $B(X, P_{x_1}), B(X, P_{x_2}), B(Y, P_{y_1})$  的随机变量, 则  $EX_1 = P_{x_1}EX, VarX_1 = P_{x_1}^2VarX + P_{x_1}(1 - P_{x_1})EX, Cov(X_1, X_2) = P_{x_1}P_{x_2}VarX, Cov(X_1, Y_1) = P_{x_1}P_{y_1}Cov(X, Y)$ 。

证明可直接根据定义进行, 从略。

以  $\bar{n}_k(t)$ ,  $\sigma_{kk}(t)$  分别表示随机变量  $n_k(t)$  的均值和方差,  $\sigma_{kj}(t)$  表示  $n_k(t)$  与  $n_j(t)$  ( $k \neq j$ ) 间协方差。由式(1),(2)及引理 1 得

$$\bar{n}_{k+1}(t+1) = (1 - u_k(t))\bar{n}_k(t) + w_k(t) - v_k(t), k = 0, 1, \dots, m-1. \quad (3)$$

$$\bar{n}_0(t+1) = \beta_p(t) \sum_{k=a_1}^{a_2} \omega_k(t)h_{pk}(t)(1 - u_{00}(t))\bar{n}_k(t) + \omega_0(t) - v_0(t). \quad (4)$$

根据引理 1 和式(1)得

$$\sigma_{k+1,k+1}(t+1) = (1 - u_k(t))^2\sigma_{kk}(t) + u_k(t)(1 - u_k(t))\bar{n}_k(t) + w_k(t) + v_k(t), \\ k = 0, 1, \dots, m-1. \quad (5)$$

$$\sigma_{k+1,j+1}(t+1) = (1 - u_k(t))(1 - u_j(t))\sigma_{kj}(t), k, j = 0, 1, \dots, m-1, k \neq j. \quad (6)$$

由引理 1 和式(1),(2)得

$$\sigma_{0k}(t+1) = \sum_{j=a_1}^{a_2} (1 - u_k(t))(1 - u_{00}(t))\beta_p(t)\omega_j(t)h_{pj}(t)\sigma_{kj}(t), \quad (7)$$

$$\sigma_{00}(t+1) = \sum_{k,j=a_1}^{a_2} \beta_p^2(t)\omega_k(t)\omega_j(t)h_{pk}(t)h_{pj}(t)(1 - u_{00}(t))^2\sigma_{kj}(t) \\ + \sum_{k=a_1}^{a_2} \beta_p(t)\omega_k(t)h_{pk}(t)(1 - u_{00}(t))[1 - \beta_p(t)\omega_k(t)h_{pk}(t)(1 - u_{00}(t))] \bar{n}_k(t) + \omega_0(t) + v_0(t). \quad (8)$$

式(3)–(8)联立可得

$$\begin{bmatrix} \bar{n}(t+1) \\ \sigma(t+1) \end{bmatrix} = \begin{bmatrix} (A_p(t) + \beta_p(t)B_p(t)) & \\ D(t) & (A_p(t) + \beta_p(t)B_p(t)) \otimes (A_p(t) + \beta_p(t)B_p(t)) \end{bmatrix} \\ \cdot \begin{bmatrix} \bar{n}(t) \\ \sigma(t) \end{bmatrix} + \begin{bmatrix} F(t) \\ E(t) \end{bmatrix}, \quad (9)$$

其中  $\otimes$  表示 Kronecker 积<sup>[5]</sup>。

$$\bar{n}(t) = [\bar{n}_0(t), \bar{n}_1(t), \bar{n}_2(t), \dots, \bar{n}_m(t)]^T,$$

$$\sigma(t) = [\sigma_{00}(t), \sigma_{01}(t), \dots, \sigma_{0m}(t), \sigma_{10}(t), \sigma_{11}(t), \dots, \sigma_{1m}(t), \dots, \sigma_{m0}(t), \sigma_{m1}(t), \dots, \sigma_{mm}(t)]^T,$$

$$A_p(t) = \begin{bmatrix} 0 & \cdots & \cdots & \cdots & \cdots & \cdots & 0 \\ (1 - u_0(t)) & & & & & & \vdots \\ & (1 - u_1(t)) & & & & & \vdots \\ & & \ddots & & & & \vdots \\ 0 & & & & & & (1 - u_{m-1}(t)) \\ & & & & & & 0 \end{bmatrix},$$

$$B_p(t) = \begin{bmatrix} 0 \cdots 0 b_{a_1}(t) \cdots b_{a_2}(t) 0 \cdots 0 \\ 0 \end{bmatrix}_{(m+1) \times (m+1)},$$

$$b_k(t) = (1 - u_{00}(t))\omega_k(t)h_{pk}(t), k = a_1, a_1 + 1, \dots, a_2,$$

$$D(t) = [D_0(t), D_1(t), \dots, D_m(t)]^T,$$

$$D_0(t) = \begin{bmatrix} 0 \cdots 0 d_{0a_1}(t) \cdots d_{0a_2}(t) 0 \cdots 0 \\ 0 \end{bmatrix}_{(m+1) \times (m+1)},$$

$$d_{0k}(t) = \beta_p(t)\omega_k(t)h_{pk}(t)(1 - u_{00}(t))[1 - \beta_p(t)\omega_k(t)h_{pk}(t)(1 - u_{00}(t))],$$

$$k = a_1, a_1 + 1, \dots, a_2,$$

$$D_i(t) = \text{diag}[0, \dots, 0, (u_i(t) - u_i^2(t)), 0, \dots, 0], i = 1, 2, \dots, m,$$

$$E(t) = \text{diag}[(w_0(t) + v_0(t)), (w_1(t) + v_1(t)), \dots, (w_m(t) + v_m(t))],$$

$$F(t) = [(w_0(t) - v_0(t)), (w_1(t) - v_1(t)), \dots, (w_m(t) - v_m(t))]^T.$$

### 3 稳定性分析

为简化起见, 讨论常系数情况。

$$\begin{bmatrix} \bar{n}(t+1) \\ \sigma(t+1) \end{bmatrix} = \begin{bmatrix} (A_p + \beta_p B_p) & 0 \\ D & (A_p + \beta_p B_p) \otimes (A_p + \beta_p B_p) \end{bmatrix} \begin{bmatrix} \bar{n}(t) \\ \sigma(t) \end{bmatrix} + \begin{bmatrix} F \\ E \end{bmatrix}. \quad (10)$$

矩阵  $(A_p + \beta_p B_p)$  的特征多项式为

$$\Delta(s) = s^{m+1} - \beta_p \sum_{i=a_1}^{a_2} \omega_i h_{pi} (1 - u_{00})(1 - u_0) \cdots (1 - u_{i-1}) s^{m-i}. \quad (11)$$

定义妇女临界生育率  $\beta_{pcr}$

$$\beta_{pcr} = \left[ \sum_{i=a_1}^{a_2} \omega_i h_{pi} (1 - u_{00})(1 - u_0) \cdots (1 - u_{i-1}) \right]^{-1}. \quad (12)$$

**引理 2<sup>[5]</sup>.** 设矩阵  $(A_p + \beta_p B_p)$  为  $m+1$  阶方阵, 其特征值为  $s_i, i = 1, 2, \dots, m+1$ , 则  $s_{ij} = s_i s_j, i, j = 1, 2, \dots, m+1$ , 是矩阵  $(A_p + \beta_p B_p) \otimes (A_p + \beta_p B_p)$  的特征值。

**引理 3<sup>[1]</sup>.** 当  $0 < \beta_p < \beta_{pcr}$  时,  $(A_p + \beta_p B_p)$  的特征值均在单位圆内;  $(A_p + \beta_{pcr} B_p)$  有代数单特征值 1, 其它特征值均在单位圆内; 当  $\beta_p > \beta_{pcr}$  时,  $(A_p + \beta_p B_p)$  有特征值在单位圆外。

**定理 1.** 在 Lyapunov 意义下, (1)当  $\beta_p > \beta_{pcr}$  时, 按龄人口均值和二阶中心矩均不稳定; (2)当  $\beta_p = \beta_{pcr}$  时, 按龄人口均值临界稳定, 二阶中心矩不稳定; (3)当  $0 < \beta_p < \beta_{pcr}$

时,按龄人口均值和二阶中心矩渐近稳定。

证明. 式(1), (3)根据引理2,3直接可得. 当 $\beta_p = \beta_{pcr}$ 时,由引理3知, $(A_p + \beta_{pcr}B_p)$ 有代数单特征值1,其余的特征值均在单位圆内,故按龄人口均值临界稳定. 由引理2知, $(A_p + \beta_{pcr}B_p) \otimes (A_p + \beta_{pcr}B_p)$ 也有特征值1,对于系统(10),1为二重特征值,系统在Lyapunov意义下不稳定,即按龄人口二阶中心矩不稳定. 证毕.

## 4 仿真

以1987年为时间零点,以该年我国1%人口抽查的按龄人口数为初始人口均值,死亡概率、女性概率、生育模式均以该年的统计数据为参考<sup>[6]</sup>,初始人口统计误差按2.5‰估计. 按(12)式计算得妇女临界生育率为 $\beta_{pcr} = 2.129$ .

不考虑迁移,按(10)式进行仿真,结果表明各年龄组均值、方差、协方差的变化趋势相同,选均值 $\bar{n}_0(t)$ 、方差 $\sigma_{00}(t)$ 和协方差 $\sigma_{13,27}(t)$ 示例如图1—3所示.

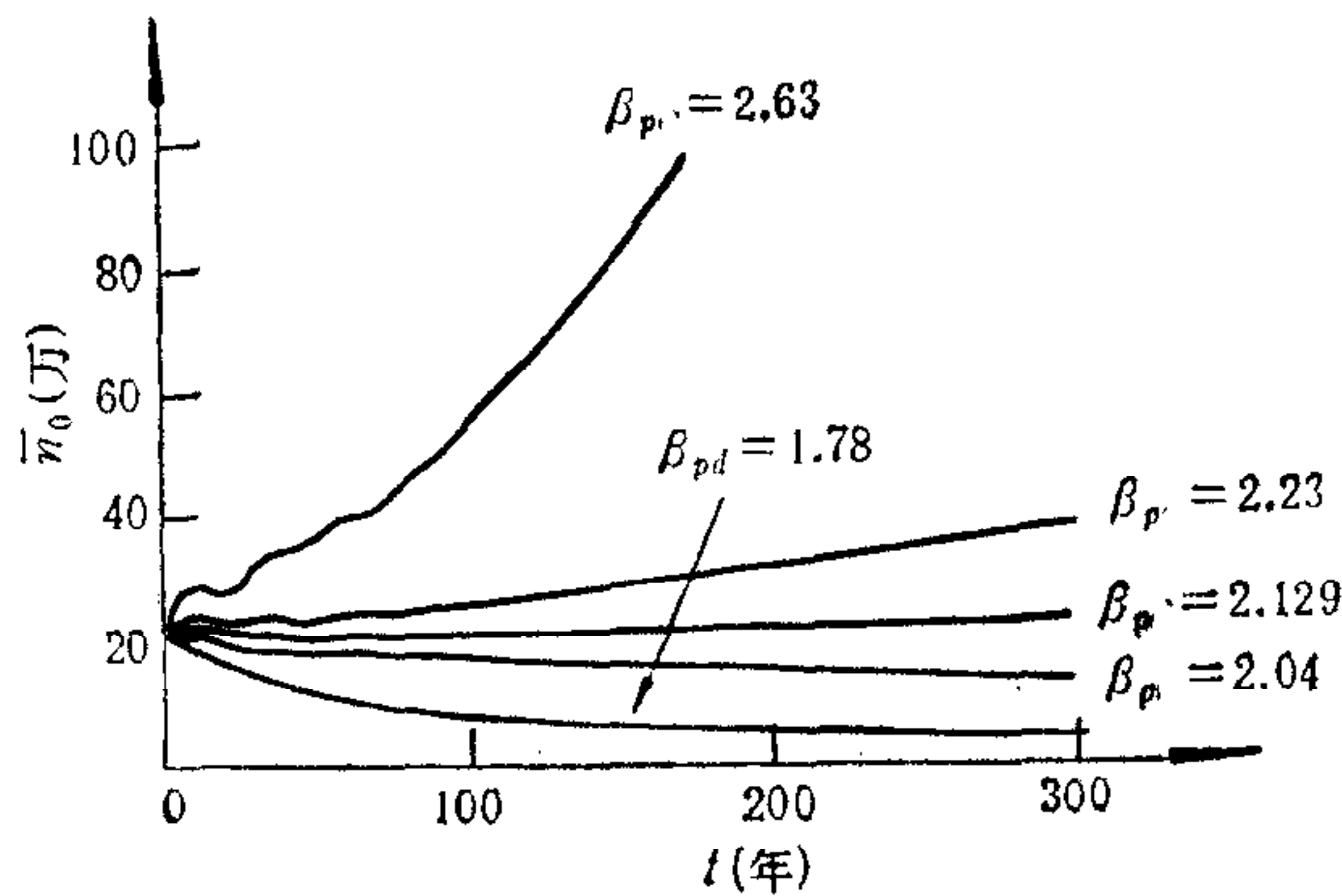


图1 0年龄组均值变化曲线

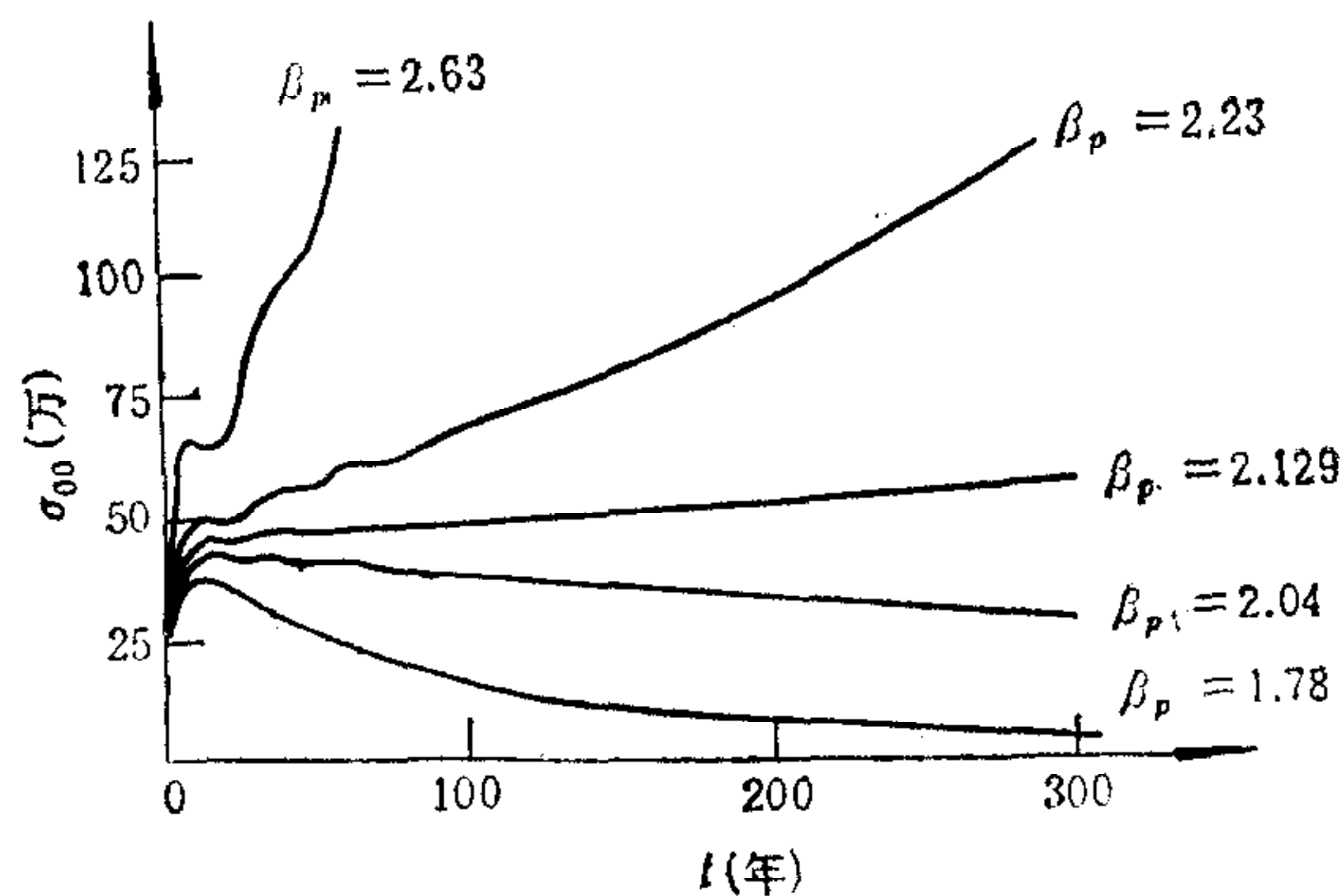


图2 0年龄组方差变化曲线

图1—3表明仿真结果与定理1结论一致.

对总和生育率大于或等于临界生育率的人口系统,由于方差发散,进行人口预报时必

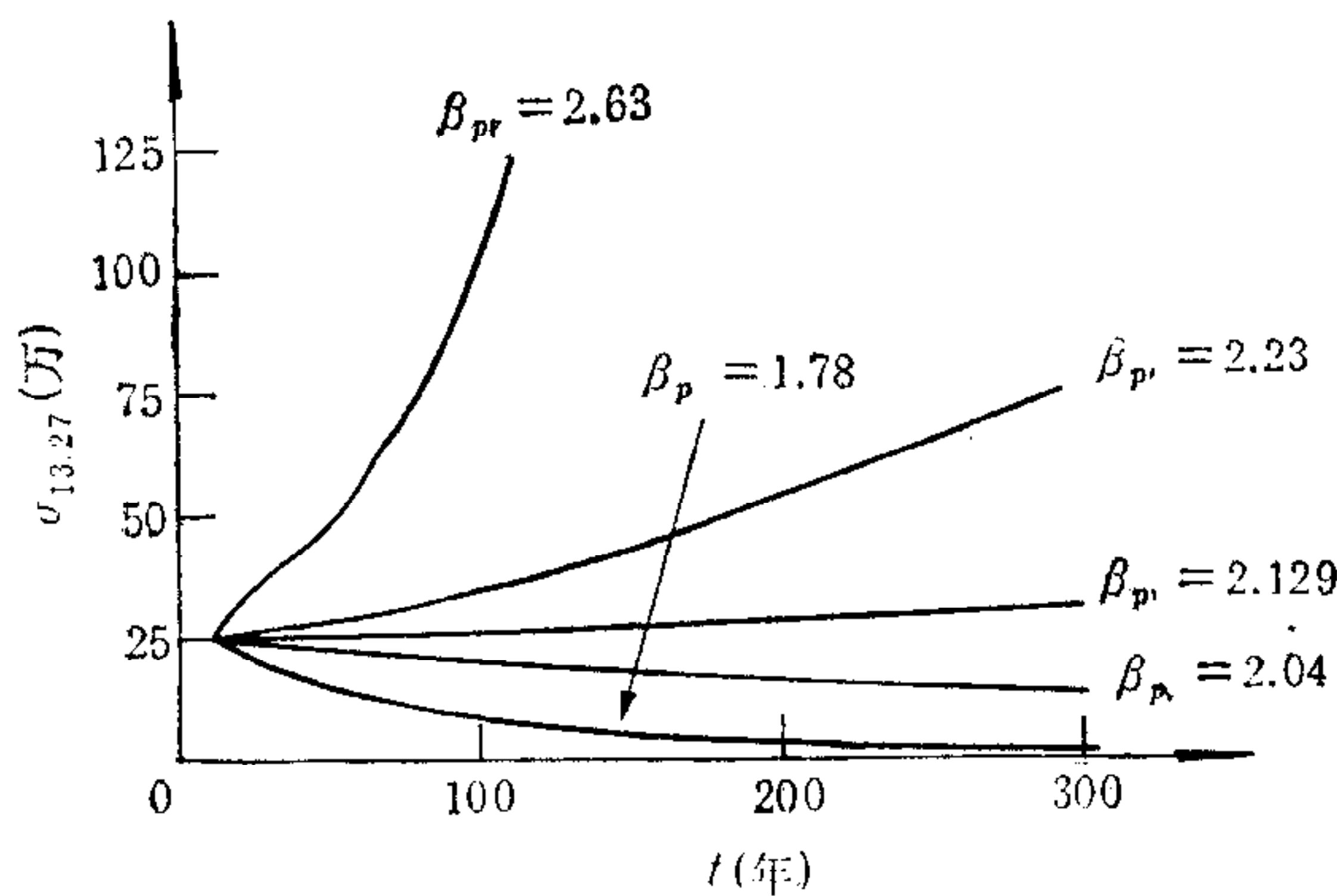


图3 13和27年龄组协方差变化曲线

须注意可能的偏差。若要保证人口不会无限增长，应调整政策使总和生育率稍低于临界生育率。

致谢。本文是在导师宋健教授、副导师于景元研究员、夏绍玮教授指导下完成的，朱广田研究员和韩京清研究员给予了帮助，作者在此深表感谢。

### 参 考 文 献

- [1] 宋健,于景元. 人口控制论. 北京: 科学出版社, 1985. 1—214.
- [2] Kendall D G. Stochastic processes and population growth, *J. Roy. Stat. Soc., Series B*, 1949, 11:230—264.
- [3] Pollard J H. Mathematical models for the growth of human populations. Cambridge University Press, London, 1975. 1—135.
- [4] Getz W M. Optimal control of a birth-and-death process population model, *Math. Biosci.*, 1975, 23:87—111.
- [5] 韩京清,何关钰,许可康. 线性系统理论代数基础. 沈阳: 辽宁科学技术出版社, 1985. 313—396.
- [6] 国家统计局人口统计司. 中国1987年1%人口抽样调查资料(全国分册). 北京: 中国统计出版社, 1988.

## MODEL BUILDING AND STABILITY ANALYZING OF STOCHASTIC DISCRETE POPULATION SYSTEMS

Ni YUEFENG

(Qingdao Science & Technology Commission Qingdao 266071)

### ABSTRACT

This paper uses difference equations to model the stochastic population birth-death and migration processes, analyzes the Lyapunov stability of the age-dependent first and second moment of the stochastic discrete population systems, gives the simulation results by using the data of 1987's 1% population census of PRC.

**Key words:** Stochastic discrete population system, stability, critical fertility rate.